

تحلیل انتقال حرارت گذرا غیر خطی با استفاده از دو روش انتگرال گیری با توزیع متفاوت نقاط انتگرال گیری در دامنه در یک فرمولاسیون بدون مش

سحر کوشکی^۱، محمود خداداد سریزدی^{۱*}، امیر خسروی فرد^۲

^۱ دانشکده مهندسی مکانیک، دانشگاه یزد، یزد، ایران

^۲ دانشکده مهندسی مکانیک، دانشگاه شیراز، شیراز، ایران

تاریخچه داوری:

دریافت: ۱۳۹۸-۰۳-۲۱

بازنگری: ۱۳۹۸-۰۷-۰۳

پذیرش: ۱۳۹۸-۰۸-۱۴

ارائه آنلاین: ۱۳۹۸-۰۹-۱۸

کلمات کلیدی:

شرط مرزی همرفتی و تابشی

روش بدون مش

انتقال حرارت گذرای غیرخطی

روش انتگرال گیری تبدیل کارترین

سلول پس‌زمینه

خلاصه: در این مقاله، مسئله انتقال حرارت گذرای غیرخطی، با هر دو شرط مرزی همرفتی و تابشی، مطالعه شده است. فرمولاسیون بدون مش درونیابی نقطه‌ای شعاعی در ترکیب با دو روش انتگرال گیری تبدیل کارترین و روش مربعی گاوس که از سلول پس‌زمینه استفاده می‌کند؛ برای محاسبه انتگرال‌های دامنه‌ای، به کار رفته است. ابتدا دمای حاصل از حل تحلیلی مسئله انتقال حرارت گذرا با شرایط مرزی همرفتی و تابشی در یک دامنه همگن، با نتایج حل بدون مش مقایسه و همخوانی آن‌ها تایید شده است. سپس، مسئله انتقال حرارت گذرا با هر دو نوع شرط مرزی در نمونه‌های کامپوزیت لایه‌ای و مدرج تابعی، با استفاده از هر دو روش انتگرال گیری ذکر شده در فرمولاسیون بدون مش، حل شده است و دماهای به دست آمده با دمای حاصل از حل مسئله مشابه با نرم‌افزار آباکوس، مقایسه شده‌اند. مطابق نتایج حاصله، استفاده از روش تبدیل کارترین در مقایسه با روش سلول پس‌زمینه، در مسائل با شرایط مرزی همرفتی حداقل خطا را به نصف و در مسائل با شرایط مرزی تشعشی، خطا را تا یک چهارم کاهش می‌دهد. همچنین، این روش عددی یک روش بدون مش است که به هیچ مش‌بندی نیاز ندارد. میزان خطا با استفاده از روش سلول پس‌زمینه در مسائل دارای شرایط مرزی تشعشی در مقایسه با شرایط مرزی همرفتی، بیشتر است. همین موضوع، مزیت استفاده از روش تبدیل کارترین را در مسائل با شرط مرزی تشعشی، که به دلیل وابسته بودن شرایط مرزی به دما، میزان غیرخطی بودن مسئله در آن‌ها بیشتر است؛ نشان می‌دهد.

با توجه به کاربردهای متعدد مواد مدرج تابعی در صنایع مختلف،

ارائه روش‌هایی که بتواند رفتار حرارتی این مواد را بررسی کند، کار ارزشمندی است. به دلیل طبیعت غیرهمگن مواد مدرج تابعی، حل مسئله انتقال حرارت گذرا در این مواد، نیازمند استفاده از یک ابزار عددی قدرتمند است؛ زیرا، حل‌های تحلیلی برای مسئله انتقال حرارت گذرا تنها در دامنه‌هایی با مواد همگن و ایزوتروپیک و همچنین هندسه‌ها و شرایط مرزی ساده در دسترس می‌باشند [۶]. از طرف دیگر، با در دست داشتن روش‌های عددی کارآمد، و با به کار بردن یک الگوریتم حل معکوس مناسب، می‌توان از این روش‌های عددی، برای شناسایی خواص یا عیوب مواد ناهمگن و به‌ویژه، برای مانیتور کردن سلامت سازه‌ها در صنایع مختلف، استفاده کرد [۷]. بعلاوه، در

۱- مقدمه

امروزه مواد جدیدی مانند مواد کامپوزیت لایه‌ای و مدرج تابعی، به دلیل مزایای اقتصادی و زیست‌محیطی آن‌ها، کاربردهای متعددی به‌ویژه در صنایع با دماهای بالاتر پیدا کرده‌اند [۱]. برای مثال، در مواد مدرج تابعی، به دلیل داشتن یک میکروساختار پیوسته، تغییر پیوسته خواص ماکروسکوپی مانند رسانایی حرارتی و گرمای ویژه، رخ می‌دهد. در نتیجه، این مواد به کاندیدای مناسبی برای استفاده در صنایع با گرادیان دمایی بالا، مانند پوشش‌های حفاظت حرارتی، محفظه‌های احتراق سوخت، پره توربین‌های گاز و غیره، تبدیل شده‌اند [۲-۵].

* نویسنده‌دار مکاتبات: khodadad@yazd.ac.ir



نقطه‌ای شعاعی ترکیب شده است. ابتدا، برای صحت‌سنجی حل با روش درون‌یابی نقطه‌ای شعاعی، مسئله انتقال حرارت گذرا با هر دو نوع شرط مرزی همرفتی و تابشی در یک صفحه بزرگ از جنس فولاد ضدزنگ (ماده همگن و ایزوتروپیک) در نظر گرفته شده است و حل تحلیلی این مسئله از مراجع استخراج شده است. سپس، همین مسئله با روش درون‌یابی نقطه‌ای شعاعی و استفاده از روش انتگرال‌گیری تبدیل‌کارتزین، حل شده و نتایج در راستای عمق نمونه در لحظه ۴۲۰ ثانیه با هم مقایسه شده است؛ که از همخوانی بسیار خوبی برخوردار هستند. در ادامه، نمونه‌های کامپوزیت لایه‌ای و مدرج تابعی از جنس آلومینیوم اکساید و زیرکونیوم اکساید در نظر گرفته شده‌اند و ابتدا خواص این مواد از مراجع استخراج شده است. سپس، مسئله انتقال حرارت گذرا با هر دو شرط مرزی همرفتی و تابشی، و با به‌کارگیری روش بدون مش پیشنهاد شده، در ترکیب با هر دو روش انتگرال‌گیری ذکر شده، برای هر دو نمونه، حل شده و نتایج با حل اجزای محدود با استفاده از نرم‌افزار آباکوس مقایسه و صحت‌گذاری شده‌اند.

۲- روش درون‌یابی نقطه‌ای شعاعی

روش‌های بدون مش فرم کلی، مانند روش بدون مش درون‌یابی نقطه‌ای شعاعی، در حقیقت تنها از نظر عامل درون‌یاب متغیر میدان، از نوع بدون مش هستند و لازم است که یک مش پس‌زمینه برای انتگرال‌گیری فرم ضعیف، در تمام دامنه مسئله، مورد استفاده قرار بگیرد. در فرمولاسیون اصلی درون‌یابی نقطه‌ای شعاعی، انتگرال‌های دامنه‌ای با استفاده از مش‌های پس‌زمینه و روش مربعی گاوس مقداریابی می‌شوند. اما، استفاده از مش‌های پس‌زمینه برای محاسبه انتگرال‌های دامنه‌ای، مزیت اصلی روش‌های بدون مش که همان عدم نیاز به مش‌بندی است را، از بین می‌برد. از طرف دیگر، استفاده از روش بدون مش درون‌یابی نقطه‌ای شعاعی در ترکیب با روش انتگرال‌گیری تبدیل‌کارتزین، موجب می‌شود که انتگرال‌های دامنه‌ای بدون نیاز به مش‌بندی پس‌زمینه محاسبه شوند. بنابراین، این روش، یک روش بدون مش و بدون نیاز به مش پس‌زمینه است، که به عنوان روش بدون مش درون‌یابی نقطه‌ای شعاعی شناخته می‌شود. بعلاوه، عدم نیاز به پیوستگی المان‌ها، آسانی حذف یا اضافه کردن گره‌ها به دامنه مسئله و هموار بودن نتایج به دست آمده، از دیگر ویژگی‌های

کاربردهای با دمای بالاتر از ۶۰۰ درجه سانتی‌گراد، پدیده تشعشع در تحلیل مسائل انتقال حرارت اهمیت پیدا می‌کند. اما، بررسی مسئله رسانایی حرارتی همراه با تشعشع، کمتر مورد توجه قرار گرفته است [۸]. به همین دلیل، بررسی روش‌هایی که قادر به تحلیل این دسته از مسائل باشند، یک کار مهندسی با ارزش است.

در طول چند دهه گذشته، مطالعات زیادی بر روی گسترش روش‌های عددی، مانند روش اجزا محدود، روش اجزا مرزی، و روش‌های بدون المان، به منظور تحلیل رفتار حرارتی مواد مدرج تابعی صورت گرفته است. در بین این روش‌های عددی، روش‌های بدون مش به دلیل عدم وابستگی به مش‌بندی (برخلاف روش اجزای محدود) و عدم نیاز به محاسبه حل تکین اساسی (برخلاف روش اجزای مرزی)، که در حالت کلی برای مسائل غیرهمگن در دسترس نیست؛ مزایای بیشتری دارند. برای مثال، این روش‌ها به راحتی قابل اعمال‌اند، سرعت محاسبه بالایی دارند، به فضای کمتری برای ذخیره اطلاعات نیاز دارند و سرعت همگرایی بالاتری در مقایسه با روش‌های کلاسیک مش‌بندی دامنه یا مرز دارند [۹]. روش عددی مورد نظر در این مقاله، جهت تحلیل مسئله گذرای انتقال حرارت در مواد ناهمگن، بر اساس روش بدون مش درون‌یابی نقطه‌ای شعاعی^۱ است. روش بدون مش درون‌یابی نقطه‌ای شعاعی، برای اولین بار برای تحلیل مسائل مکانیک جامدات توسط ونگ و لیو ارائه شد [۱۰ و ۱۱]. این روش، بعد از آن برای حل مسائل مختلفی مانند، تحلیل استاتیکی و دینامیکی سازه‌های پیژوالکتریک [۱۲]، ارتعاشات آزاد صفحات مدرج تابعی [۱۳]، رسانایی حرارتی صفحات مدرج تابعی در حضور منابع حرارتی [۶] و غیره، به کار برده شده است.

روش بدون مش درون‌یابی نقطه‌ای شعاعی، بر اساس فرمولاسیون ضعیف کلی است. بنابراین، نیازمند محاسبه انتگرال‌های دامنه‌ای است. روش انتگرال‌گیری مورد استفاده در این فرمولاسیون بدون مش، در این مقاله مطالعه شده است. روش انتگرال‌گیری مرسوم در فرمولاسیون درون‌یابی نقطه‌ای شعاعی، استفاده از مش پس‌زمینه و محاسبه انتگرال‌ها با استفاده از روش مربعی گاوس^۲ است. از جمله دیگر روش‌های انتگرال‌گیری، روش تبدیل‌کارتزین^۳ است که توسط خسروی‌فرد و همکاران [۶]، با فرمولاسیون بدون مش درون‌یابی

1 Radial Point Interpolation Method (RPIM)

2 Gaussian Quadrature (GQ)

3 Cartesian Transformation Method (CTM)

در این فرمولاسیون بدون مش، برای ساختن توابع شکلو تقریب میدان دمایی در هر نقطه دلخواه، از یک سری تابع پایه شعاعی و یک سری تابع پایه تک جمله‌ای، مطابق رابطه (۳) استفاده می‌شود [۱۱] و [۱۴]:

$$T(\bar{X}, t) = \sum_{i=1}^n R_i(\bar{X})a_i(t) + \sum_{k=1}^m P_k(\bar{X})b_k(t) \quad (3)$$

در رابطه (۳)، $R_i(\bar{X})$ همان توابع پایه شعاعی و $P_k(\bar{X})$ همان توابع پایه تک جمله‌ای هستند. در این رابطه، تعداد گره‌های پراکنده در دامنه پشتیبانی نقطه مورد نظر، m تعداد توابع پایه شعاعی و $a_i(t)$ و $b_k(t)$ مجهولات زمانی مسئله هستند. در اینجا توابع پایه خطی با $m=3$ مورد استفاده قرار می‌گیرند:

$$P^T(\bar{X}) = [1, x_j, y_j] \quad (4)$$

فهرست توابع پایه شعاعی که در روش درون‌یابی نقطه‌ای شعاعی مرسوم هستند، در مرجع [۶] آمده است. در این مقاله، تابع تی‌پی‌اس^۱ استفاده شده است. این تابع پایه شعاعی، از رابطه (۵) به دست می‌آید. همچنین، مقدار $3/0.01$ برای پارامتر η انتخاب شده است. در این رابطه، فاصله اقلیدسی بین نقطه درون‌یابی \bar{X} و گره واقع در (x_p, y_p) در ناحیه پشتیبانی این نقطه، است.

$$R_i = (\sqrt{((x_j - x_i)^2 + (y_j - y_i)^2)})^{-\eta} \quad (5)$$

با اعمال خاصیت تابع دلتای کرانکر، n معادله برای گره‌های موجود در دامنه به شکل رابطه (۶)، خواهیم داشت:

$$u^h(\bar{X}_i) = u_i \quad (6)$$

مطابق رابطه (۶)، مقدار دمای تقریب زده شده در محل گره واقع در نقطه $\bar{X}=(x_p, y_p)$ برابر با مقدار دمای گره i ام است. همین شرط، دستگاهی شامل n معادله برای n نقطه گره‌ای در دامنه مسئله به دست می‌دهد که شکل ماتریسی این دستگاه معادلات مطابق رابطه

مثبت این روش است [۶]. در ادامه، ابتدا فرمولاسیون روش بدون مش درون‌یابی نقطه‌ای شعاعی، شرح داده می‌شود و سپس، محاسبات عددی مربوط به مقدار یابی انتگرال‌های دامنه‌ای، با استفاده از هر یک از روش‌های انتگرال‌گیری مورد بررسی در این کار، بیان می‌شود.

۱-۲- محاسبه توابع شکلدر روش درون‌یابی نقطه‌ای شعاعی

برای تقریب زدن جواب در هر نقطه دلخواه، از تعدادی گره در اطراف آن نقطه، که اصطلاحاً در ناحیه پشتیبانی مربوط به آن نقطه قرار دارند؛ مطابق رابطه (۱) استفاده می‌شود. زیرا، برای داشتن جواب در هر نقطه، تنها داشتن اطلاعات مربوط به گره‌های اطراف آن نقطه، که در ناحیه پشتیبانی مربوط به آن نقطه قرار دارند، کفایت می‌کند و نیازی به داشتن اطلاعات مربوط به گره‌های دورتر نیست.

$$u(\bar{X}) = \sum_{i=1}^n u_i \varphi_i(x_j, y_j) = \{\bar{\varphi}\}^T \{\bar{u}_s\} \quad (1)$$

در رابطه (۱)، $\varphi_i(x_p, y_p)$ تابع شکل مربوط به گره i ام، در محل نقطه $\bar{X}=(x_p, y_p)$ است، که متغیر میدانی u در آن مجهول است. n تعداد کل گره‌ها در ناحیه پشتیبانی، و u_i مقدار متغیر میدانی در محل نقاط گره‌ای است. مقدار تابع شکل در هر نقطه برای گره‌هایی که خارج از ناحیه پشتیبانی مربوط به آن نقطه قرار می‌گیرند؛ صفر است. دقت درون‌یابی در هر نقطه، به شکل و اندازه ناحیه پشتیبانی در آن نقطه بستگی دارد [۱۴]. در اینجا روش لیو و گائو [۱۵] برای محاسبه ابعاد ناحیه پشتیبانی، استفاده شده است. در این روش، ناحیه پشتیبانی به شکل دایره در نظر گرفته می‌شود و شعاع ناحیه پشتیبانی عبارت است از $d_s = \alpha_s d_c$ که در آن α_s یک ثابت است که معمولاً بین ۱/۵ تا ۳ در نظر گرفته می‌شود و d_c فاصله متوسط بین گره‌ها در ناحیه پشتیبانی است.

بنابر رابطه (۱)، میدان دمایی تقریب زده شده در مسئله انتقال حرارت می‌تواند به شکل رابطه (۲) نوشته شود که در آن بردار $T(t)$ دربرگیرنده مقدار دما در نقاط گره‌ای و $\varphi^T(\bar{X})$ بردار دربرگیرنده تابع شکل است.

$$T(\bar{X}, t) = \sum_{i=1}^n \varphi_i(x_j, y_j) T_i(t) = \varphi^T(x) T(t) \quad (2)$$

1 Thin Plane Spline (TPS)

(۷) است:

$$\mathbf{G} = \begin{bmatrix} \mathbf{R}_0 & \mathbf{P}_m \\ \mathbf{P}_m^T & 0 \end{bmatrix} \quad (12)$$

با جاگذاری معادله (۱۲) در معادله (۱۱)، و با توجه به معادله (۲)، رابطه (۱۳) برای محاسبه توابع شکل به دست می‌آید:

$$\bar{\varphi} = [\mathbf{R}^T \mathbf{P}^T] \mathbf{G}^{-1} \quad (13)$$

۳- فرمولاسیون مسئله انتقال حرارت گذرا

در این مقاله، مسئله انتقال حرارت هدایت گذرای غیرخطی در محیطی با خواص غیرهمگن و وابسته به دما در نظر گرفته می‌شود. فرض بر آن است که انتقال حرارت گذرا در یک محیط ایزوتروپیک رخ می‌دهد. معادله انتقال حرارت گذرا، در محیط ایزوتروپیک و بدون وجود منبع حرارتی، به فرم معادله (۱۴) است:

$$\nabla \cdot (k \nabla T) = \rho \times c \times \partial T / \partial t \quad (14)$$

که در این رابطه، $\rho(\mathbf{x})$ چگالی ماده، $c(\mathbf{x}, T)$ گرمای ویژه و $k(\mathbf{x}, T)$ ضریب رسانایی حرارتی است. با قرار دادن معادله (۲) در فرم ضعیف شده از معادله (۱۴)، دستگاه معادلات (۱۵) به دست می‌آید:

$$[\mathbf{M}] \{\dot{T}\} + [\mathbf{K}(T)] \{T\} = \{F(t, T)\} \quad (15)$$

در رابطه (۱۵)، $\{T\}$ بردار دما در محل گره‌ها، $[\mathbf{M}]$ ماتریس جرم، $[\mathbf{K}(T)]$ ماتریس سختی، و $\{F(t, T)\}$ بردار نیرو است. از آنجا که در مسئله انتقال حرارت، هر گره دارای یک درجه آزادی است، ابعاد ماتریس دما و نیرو $I \times N$ و ابعاد ماتریس جرم و سختی $N \times N$ می‌باشد؛ که N تعداد کل گره‌های مسئله است. ماتریس جرم از رابطه (۱۶) به دست می‌آید [۱۶ و ۱۷] و مقدار آن مستقل از شرایط مرزی اعمال شده به مسئله است. اما، ماتریس‌های سختی و نیرو، وابسته به شرایط مرزی مسئله هستند.

$$M_{ij} = \int_{\Omega} \rho(x, T) c(x, T) \varphi_i \varphi_j \, d\Omega \quad (16)$$

$$\mathbf{u}_i = \mathbf{R}_0 \mathbf{a} + \mathbf{P}_m \mathbf{b} \quad (7)$$

در رابطه (۷)، $\mathbf{u}_i^T = \{u_1, u_2, \dots, u_n\}$ بردار دربرگیرنده مقدار دما در محل گره‌ها است و \mathbf{R}_0 ماتریس ممان توابع پایه شعاعی به شکل رابطه (۸) است:

$$\mathbf{R}_0 = \begin{bmatrix} R_1(r_1) & R_2(r_1) & \dots & R_n(r_1) \\ R_1(r_2) & R_2(r_2) & \dots & R_n(r_2) \\ \vdots & \vdots & \ddots & \vdots \\ R_1(r_n) & R_2(r_n) & \dots & R_n(r_n) \end{bmatrix} \quad (8)$$

همچنین، ضرایب مجهول a_i باید در معادلات قید مطابق رابطه (۹) صدق کنند. این معادلات، شرط لازم برای اطمینان از یکتایی ضرایب مجهول به دست آمده هستند [۶]:

$$\sum_{i=1}^n P_j(\bar{X}_i) a_i(t) = \mathbf{P}_m^T \mathbf{a} = 0; j = 1, 2, \dots, m. \quad (9)$$

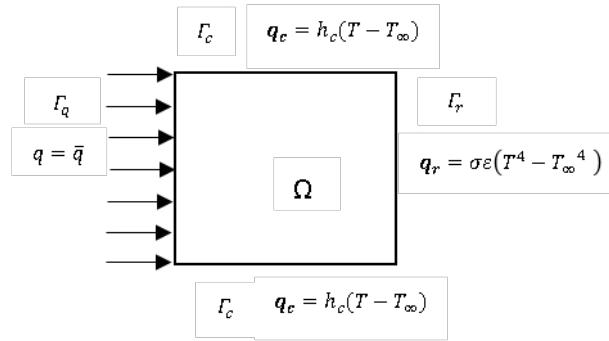
در رابطه (۹)، \mathbf{P}_m^T ماتریس ممان تک‌جمله‌ای است که برابر است با:

$$\mathbf{P}_m^T = \begin{bmatrix} 1 & 1 & \dots & 1 \\ x1 & x2 & \dots & xn \\ y1 & y2 & \dots & yn \\ \vdots & \vdots & \ddots & \vdots \\ P_m(x_1) & P_m(x_2) & \dots & P_m(x_n) \end{bmatrix} \quad (10)$$

با در نظر گرفتن معادلات (۷) و (۹)، در مجموع $n+m$ معادله، برای به دست آوردن تمام مجهولات، در دست خواهد بود. این دستگاه معادلات می‌تواند به شکل ماتریسی مطابق رابطه (۱۱) نوشته شود:

$$\begin{bmatrix} \mathbf{u}_i \\ 0 \end{bmatrix} = \mathbf{G} \begin{bmatrix} \mathbf{a} \\ \mathbf{b} \end{bmatrix} \quad (11)$$

که \mathbf{G} ماتریس ممان مطابق رابطه (۱۲) است:



شکل ۱. انواع شرایط مرزی اعمال شده در دامنه مسئله.

Fig. 1. Different boundary conditions in the domain problem.

معادله (۱۵)، شامل مجهولات دمایی و مشتق‌های زمانی آن است؛ که در اینجا برای حل مسئله در دامنه زمانی، از روش کرنک-نیکلسون استفاده می‌شود [۱۸]. به این ترتیب، با در نظر گرفتن حل مسئله بین دو گام زمانی s و $s+1$ ، معادله (۱۵) به یک دستگاه معادلات دیفرانسیل معمولی به شکل معادلات (۱۷) تا (۲۰) تبدیل می‌شود:

معادله (۱۵)، شامل مجهولات دمایی و مشتق‌های زمانی آن است؛ که در اینجا برای حل مسئله در دامنه زمانی، از روش کرنک-نیکلسون استفاده می‌شود [۱۸]. به این ترتیب، با در نظر گرفتن حل مسئله بین دو گام زمانی s و $s+1$ ، معادله (۱۵) به یک دستگاه معادلات دیفرانسیل معمولی به شکل معادلات (۱۷) تا (۲۰) تبدیل می‌شود:

$$\{T\}_{s+1} = [\hat{K}_{s+1}]^{-1} (\bar{K}_s T_s + \hat{F}_{s,s+1}) \quad (17)$$

$$\hat{K}_{s+1} = M_{s+1} + 0.5 \times \Delta t_{s+1} K_{s+1} \quad (18)$$

$$\bar{K}_s = M_{s+1} - 0.5 \times \Delta t_{s+1} K_s \quad (19)$$

$$\hat{F}_{s,s+1} = 0.5 \times \Delta t_{s+1} [F_s + F_{s+1}] \quad (20)$$

(۲۱) روی مرز Γ_q با شار حرارتی ثابت

$$-k(\nabla T \cdot \mathbf{n}) = \bar{q}$$

(۲۲) روی مرز Γ_c با شرایط مرزی همرفت

$$q_c = h_c(T - T_\infty)$$

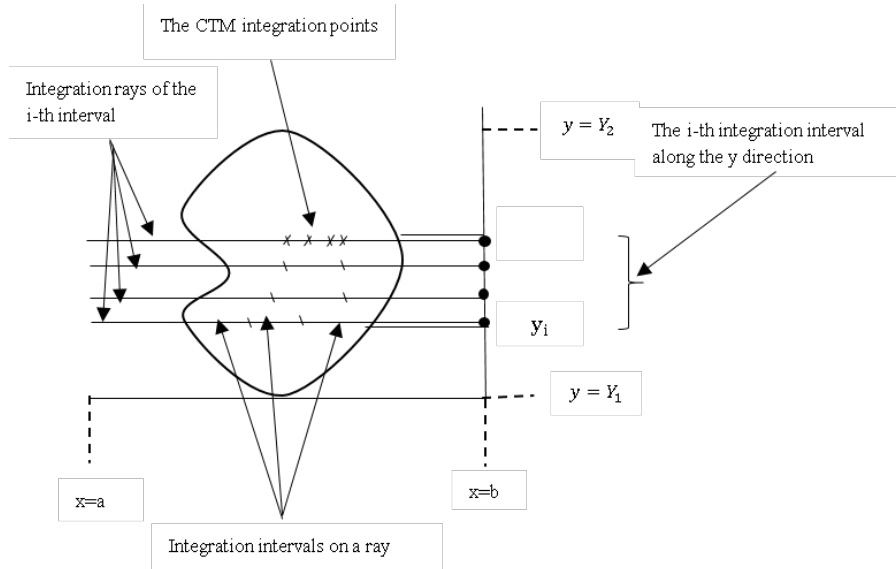
(۲۳) روی مرز Γ_r با شرایط مرزی تشعشع

$$q_r = \sigma \varepsilon (T^4 - T_\infty^4)$$

اتریس‌های سختی و نیرو روی این مرزها نیز از روابط (۲۴) و (۲۵) به دست می‌آیند [۱۶ و ۱۷]. در مسئله با شرایط مرزی تابشی، اگر چه تشعشع تنها از طریق شرایط مرزی روی انتقال حرارت اثر می‌گذارد، اما، از آنجا که حرارت منتقل شده از مرز دارای تشعشع، شامل ترم‌های غیرخطی با توان چهارم از دما است، تاثیر آن بر روی دمای جسم قابل توجه است. در این حالت ضریب انتقال حرارت تشعشعی موثر مطابق رابطه (۲۶) تعریف می‌شود [۱۹] و از آنجا که این ضریب خود شدیداً تابع دما است، باعث تشدید غیرخطی بودن

از آنجا که خواص ماده، تابعی از دما در نظر گرفته می‌شوند، ماتریس‌های جرم، سختی و نیرو در هر گام زمانی با استفاده از یک روش تکرار و توزیع دما در گام زمانی قبلی، به دست می‌آیند. سپس، این ماتریس‌ها در یک حلقه تکرار تا همگرایی به حل با دقت مناسب، به روز می‌شوند.

در این مقاله، مسئله انتقال حرارت با هر دو نوع شرط مرزی همرفت و تشعشع، با در نظر گرفتن شار حرارتی ثابت در یک مرز جسم، مورد بررسی قرار خواهد گرفت. اگر یک جسم با هندسه ساده‌ای مطابق شکل ۱ را در حالت کلی در نظر بگیریم، به‌طوری‌که در



شکل ۲. دامنه انتگرال گیری و نقاط انتگرال گیری در روش مختصات کارتیزین [۲۰].
Fig. 2. Domain of integration and integration points in the CTM [20].

کارآیی روش های بدون مش را کاهش می دهد. در ادامه، تاثیر استفاده از روش تبدیل کارتیزین و روش مربعی گاوس در مسائل غیرخطی انتقال حرارت با هم مقایسه می شود. در ابتدا، گام های اصلی در هر یک از این روش های انتگرال گیری به اختصار بررسی می شود.

مسئله می شود.

۴-۱- گام های اصلی روش انتگرال گیری تبدیل کارتیزین

یک انتگرال روی یک دامنه دو بعدی را به شکل رابطه (۲۷) در نظر بگیرید، که در آن $h(x,y)$ یک تابع دلخواه و Ω دامنه ناحیه انتگرال گیری، مطابق با شکل ۲ است.

$$K_{ij} = \int_{\Omega} K(x, T) \left[\frac{\partial \varphi_i}{\partial x} \frac{\partial \varphi_j}{\partial x} + \frac{\partial \varphi_i}{\partial y} \frac{\partial \varphi_j}{\partial y} \right] d\Omega + \quad (24)$$

$$\int_{\Gamma_c} h_c \varphi_i \varphi_j d\Gamma_c + \int_{\Gamma_r} h_r \varphi_i \varphi_j d\Gamma_r$$

$$F_i = - \int_{\Gamma_q} \bar{q} \varphi_i d\Gamma_q + \int_{\Gamma_c} h_c T_{\infty} \varphi_i d\Gamma_c + \int_{\Gamma_r} h_r T_{\infty} \varphi_i d\Gamma_r \quad (25)$$

$$h_r = \sigma \varepsilon [(T + T_{\infty})(T^2 + T_{\infty}^2)] \quad (26)$$

$$I = \int_{\Omega} h(x, y) d\Omega \quad (27)$$

برای رسیدن به یک روش بدون مش، انتگرال دامنه ای، توسط قضیه گرین به یک انتگرال مرزی و یک انتگرال یک بعدی، تبدیل می شود [۲۰]:

$$I = \oint_{\Gamma} \int_a^x h(x, y) d\xi dy \quad (28)$$

با در نظر گرفتن یک ناحیه کمکی مستطیلی که ناحیه اصلی را در بر بگیرد، و انجام یک سری محاسبات ریاضی، انتگرال معادله بالا

۴- روش انتگرال گیری

مطابق معادلات (۱۶) و (۲۴)، ماتریس های جرم و سختی باید از طریق محاسبه انتگرال های دامنه ای به دست آیند. در این مقاله، فرمولاسیون بدون مش درون یابی نقطه ای شعاعی در دو حالت: الف) استفاده از روش انتگرال گیری دوبعدی تبدیل کارتیزین و ب) استفاده از سلول پس زمینه و روش انتگرال گیری مربعی گاوس [۱۴]، برای محاسبه این انتگرال های دامنه ای، بررسی شده است. روش مرسوم انتگرال گیری در روش های بدون مش، روش مربعی گاوس است. اما، استفاده از این روش دارای مشکلاتی است. از جمله آن که استفاده از روش مربعی گاوس، نیازمند به کارگیری سلول پس زمینه است، که

به دو انتگرال یک‌بعدی تبدیل می‌شود:

$$I = \int_{y_1}^{y_2} g(y) dy \quad (29)$$

به طوری که:

$$g(y) = \int_a^b h(x, y) dx \quad (30)$$

انتگرال یک‌بعدی در معادلات (۲۹) و (۳۰)، می‌تواند با استفاده از روش‌های انتگرال‌گیری عددی، مانند روش گاوس کامپوزیتی داده شده در مرجع [۲۰] محاسبه شود:

$$\sum_{i=1}^u \sum_{j=1}^v JW_j G(\eta_j) \quad (31)$$

که در آن، $G(\eta) = g(y(\eta))$ و $J = dy/d\eta = (y_{i+1} - y_i)/2$ است. $g(y_i)$ نیز مطابق رابطه زیر محاسبه می‌شود:

$$g(y_i) = \sum_{j=1}^l \int_{x_{2j-1}}^{x_{2j}} h(x, y_i) dx \quad (32)$$

$$\int_{x_{2j-1}}^{x_{2j}} h(x, y_i) dx = \sum_{r=1}^p \sum_{s=1}^q \hat{J} W_s H(\xi_s) \quad (33)$$

به طوری که $H(\xi) = h(x(\xi), y_i)$ و $J = (x_{2j} - x_{2j-1})/2p$. محدودۀ انتگرال در معادله (۳۲) نیز، بر اساس روندی که در مرجع [۲۰] توضیح داده شده است، تعیین می‌شود. بعد از کمی ساده‌سازی، انتگرال معادله (۲۷)، مطابق مرجع [۲۰]، می‌تواند به شکل زیر نوشته شود:

$$I = \sum_{i=1}^M W^{2D}(x_i) \times h(x_i) = W^{2D} \cdot H \quad (34)$$

به طوری که $W^{2D}(x_i)$ وزن انتگرال‌گیری مربوط به i امین نقطه انتگرال‌گیری، و M تعداد نقاط انتگرال‌گیری در روش انتگرال‌گیری تبدیل کارترین است.

۲-۴- محاسبات عددی روش انتگرال‌گیری تبدیل کارترین

در روش تبدیل کارترین، معادله (۳۴) برای محاسبه انتگرال‌های دامنه‌ای (معادلات (۱۶) و (۲۴)) به کار می‌رود. انتگرال‌های مرزی در محاسبات ماتریس سختی و بردار نیرو نیز، با استفاده از روش انتگرال‌گیری گاوس محاسبه می‌شوند. به این ترتیب، ماتریس‌های جرم و سختی و بردار نیرو، از روابط (۳۵) تا (۳۷) به دست می‌آیند، که در آن‌ها، M تعداد نقاط انتگرال‌گیری تبدیل کارترین در دامنه مسئله، G_c و G_r و G_q نیز، به ترتیب تعداد نقاط انتگرال‌گیری گاوسی روی مرز G_r و G_c و G_q هستند. W_p^{2D} نیز وزن مربوط به نقاط انتگرال‌گیری تبدیل کارترین، در رابطه مربوطه است. اما در انتگرال‌های یک‌بعدی (روی مرز جسم)، که شامل ترم‌های دوم و سوم در معادله (۳۶) و تمام ترم‌های معادله (۳۷) است، W_p^{1D} وزن مربوط به نقاط انتگرال‌گیری گاوسی است.

$$M_{ij} = \sum_{p=1}^M W_p^{2D} (R_p \times C_p \times S_{p,i} \times S_{p,j}) \quad (35)$$

$$K_{ij} = \sum_{p=1}^M W_p^{2D} [A_p (S_{p,i}^x \times S_{p,j}^x + S_{p,i}^y \times S_{p,j}^y)] + \sum_{p=1}^{G_c} W_p^{1D} (h_c \times S_{p,i} \times S_{p,j}) + \sum_{p=1}^{G_r} W_p^{1D} (h_r (G_4) \times S_{p,i} \times S_{p,j}) \quad (36)$$

$$F_i = - \sum_{p=1}^{G_q} W_p^{1D} (\bar{q} \times S_{p,i}) + \quad (37)$$

$$\sum_{p=1}^{G_c} W_p^{1D} (h_c \times T_\infty \times S_{p,i}) + \sum_{p=1}^{G_r} W_p^{1D} (h_r \times T_\infty \times S_{p,i})$$

دیگر بردارها و ماتریس‌ها در روابط (۳۵) تا (۳۷) نیز، مطابق با روابط (۳۸) تا (۴۱) تعریف می‌شوند:

$$\{R\} = \begin{Bmatrix} \rho(x_1, T) \\ \rho(x_2, T) \\ \vdots \\ \rho(x_M, T) \end{Bmatrix}; \{A\} = \begin{Bmatrix} k(x_1, T) \\ k(x_2, T) \\ \vdots \\ k(x_M, T) \end{Bmatrix}; \{C\} = \begin{Bmatrix} c(x_1, T) \\ c(x_2, T) \\ \vdots \\ c(x_M, T) \end{Bmatrix} \quad (38)$$

$$S = \begin{bmatrix} \varphi_1(x_1) & \varphi_1(x_2) & \cdots & \varphi_1(x_M) \\ \varphi_2(x_1) & \varphi_2(x_2) & \cdots & \varphi_2(x_M) \\ \vdots & \vdots & \ddots & \vdots \\ \varphi_N(x_1) & \varphi_N(x_2) & \cdots & \varphi_N(x_M) \end{bmatrix} \quad (39)$$

که در رابطه (۴۲)، $\theta = T(x, t) - T_\infty / T_i - T_\infty$ دمای بدون بعد، T_i دمای اولیه، L طول کل جسم در راستای محور x ، $\tau = \alpha t / L^2$ زمان بدون بعد، معروف به عدد فوریه است. همچنین، $\alpha = k / (\rho c)$ همان دیفیوزیویته حرارتی ماده است.

در حالتی که انتقال حرارت تشعشی نیز در مرز جسم در حال رخ دادن است، با محاسبه ضریب انتقال حرارت همرفتی معادل با استفاده از رابطه (۲۶)، می توان ضریب انتقال حرارت همرفتی کل در مرز را از رابطه $h_t = h_c + h_r$ به دست آورد. در رابطه (۴۲)، مقادیر ویژه معادله زیر هستند:

$$\lambda_n \tan \lambda_n = Bi \quad (43)$$

که در رابطه (۴۳)، $Bi = h_t L / k$ عدد بایو است. در محاسبه دما با استفاده از رابطه (۴۲)، به دلیل سرعت میرایی بالای ترم نمایی، نیازی به در نظر گرفتن تعداد بینهایت ترم نیست، بلکه برای $\tau > 0.2$ می توان تنها ترم اول را برای تقریب زدن حل استفاده کرد و در این حالت خطایی کمتر از ۲ درصد داریم [۲۱].

برای بررسی صحت حل با استفاده از روش بدون مش درون یابی نقطه ای شعاعی، یک صفحه بزرگ از جنس فولاد ضدزنگ و با خواص همگن و مستقل از دما و شرایط مرزی و اولیه مطابق شکل ۳، در نظر گرفته می شود. رسانایی حرارتی ماده برابر ۱۶ وات بر مترمربع در کلون، چگالی آن برابر با ۸۳۱۴ کیلوگرم بر مترمکعب، گرمای ویژه آن ۵۰۲/۱ ژول بر کیلوگرم در کلون است [۲۱].

این مسئله با استفاده از معادله (۴۲) در زمان ۴۲۰ ثانیه، با استفاده از گام زمانی ۵ ثانیه ای برای محاسبه ضریب همرفتی معادل برای حالت تشعشی حل شده است. برای محاسبه این ضریب، در هر گام زمانی، دمای جسم در مرز آن محاسبه شده و ضریب h_r که تابعی از دما است، برای آن محاسبه شده است و ضریب همرفت کل به دست آمده است. از این ضریب برای محاسبه دما در گام بعدی استفاده می شود و به همین ترتیب ضریب همرفتی کل در مرز، در هر گام زمانی تا همگرایی به حل با دقت مناسب، به روز رسانی می شود. همچنین، برای محاسبه دمای تحلیلی با استفاده از معادله (۴۲)، از تقریب ترم اول استفاده شده است زیرا همواره شرط $\tau > 0.2$ برقرار

$$S^x = \begin{bmatrix} \frac{\varphi_1(x_1)}{\partial x} & \frac{\varphi_1(x_2)}{\partial x} & \dots & \frac{\varphi_1(x_M)}{\partial x} \\ \frac{\varphi_2(x_1)}{\partial x} & \frac{\varphi_2(x_2)}{\partial x} & \dots & \frac{\varphi_2(x_M)}{\partial x} \\ \vdots & \vdots & \ddots & \vdots \\ \frac{\varphi_N(x_1)}{\partial x} & \frac{\varphi_N(x_2)}{\partial x} & \dots & \frac{\varphi_N(x_M)}{\partial x} \end{bmatrix} \quad (40)$$

$$S^y = \begin{bmatrix} \frac{\varphi_1(x_1)}{\partial y} & \frac{\varphi_1(x_2)}{\partial y} & \dots & \frac{\varphi_1(x_M)}{\partial y} \\ \frac{\varphi_2(x_1)}{\partial y} & \frac{\varphi_2(x_2)}{\partial y} & \dots & \frac{\varphi_2(x_M)}{\partial y} \\ \vdots & \vdots & \ddots & \vdots \\ \frac{\varphi_N(x_1)}{\partial y} & \frac{\varphi_N(x_2)}{\partial y} & \dots & \frac{\varphi_N(x_M)}{\partial y} \end{bmatrix} \quad (41)$$

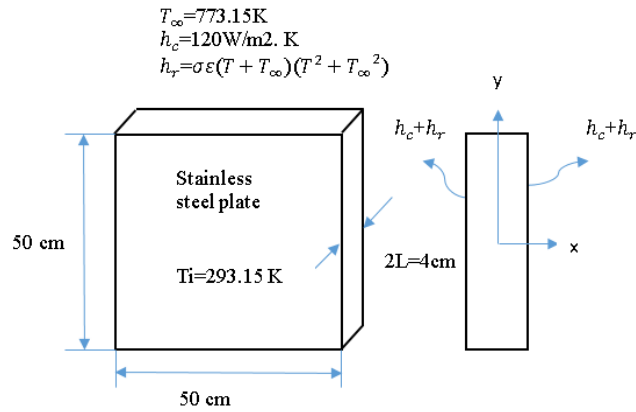
۳-۴-محاسبات عددی در استفاده از روش انتگرال گیری گاوس و سلول پس زمینه

در محاسبه مختصات نقاط انتگرال گیری با استفاده از سلول پس زمینه، کافی است یک سلول بندی پس زمینه، که در برگیرنده تمام دامنه مسئله است؛ در نظر گرفته شود و با یک تقسیم بندی منظم در راستای عمودی و افقی، این نقاط تولید شوند. برای محاسبه انتگرال های دامنه ای در این حالت نیز، از روش گاوس کامپوزیتی داده شده در رابطه (۳۱) استفاده می شود. برای محاسبه انتگرال های روی مرز در معادلات (۳۶) و (۳۷) نیز، مجدداً از روش گاوس یک بعدی استفاده می شود.

۵-صحت سنجی با حل تحلیلی

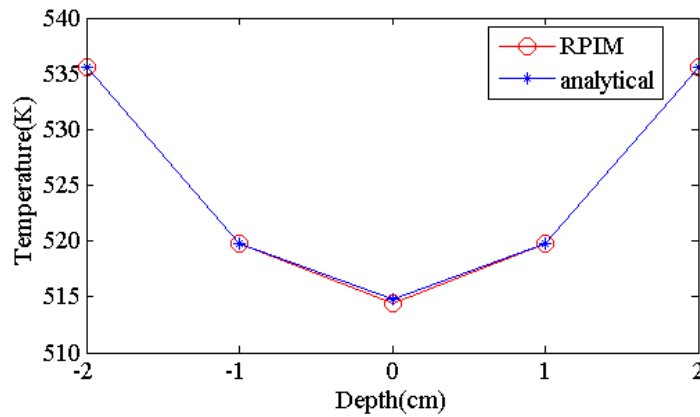
مسئله انتقال حرارت گذرا با شرایط مرزی همرفتی، در دامنه همگن، دارای حل تحلیلی با استفاده از سری فوریه است [۲۱]. این حل تحلیلی برای انتقال حرارت یک بعدی در راستای محور x و برای یک صفحه مستطیلی بزرگ عبارت است از:

$$\theta = \sum_{n=1}^{\infty} \frac{4 \sin \lambda_n}{2 \lambda_n + \sin 2 \lambda_n} e^{-\lambda_n^2 \tau} \cos(\lambda_n x / L) \quad (42)$$



شکل ۳. دامنه و شرایط مرزی و اولیه برای مسئله همگن با حل تحلیلی.

Fig. 3. Domain, boundary and initial conditions for homogenous problem with analytical solution.



شکل ۴. مقایسه دمایی تحلیلی و دمایی به دست آمده از حل بدون مش در طول عمق نمونه همگن.

Fig. 4. Comparison of temperature depth profiles obtained from analytical and meshless solution in the homogenous sample

مش درون‌یابی نقطه‌ای شعاعی برای حل مسئله انتقال حرارت گذرا در نمونه‌های کامپوزیت لایه‌ای و مدرج تابعی به کار گرفته می‌شود.

۶- خواص فیزیکی و مشخصات نمونه‌های غیرهمگن

در هر یک از مثال‌های زیر، دو نمونه در نظر گرفته شده است. نمونه اول، یک نمونه کامپوزیت لایه‌ای با یک حفره دایره‌ای در وسط نمونه، و نمونه دوم، یک نمونه مدرج تابعی است. هر مثال با شرایط مرزی مشابه، برای هر دو نمونه حل شده است. مواد سازنده این نمونه‌ها از دو پودر آلومینیوم اکساید و زیرکونیوم اکساید ۳ درصد مولی، در نظر گرفته شده‌اند. نمونه لایه‌ای، شامل چهار لایه است که لایه اول زیرکونیوم اکساید خالص، لایه دوم ۲۵ درصد حجمی آلومینیوم

است. همچنین، مسئله معادل انتقال حرارت یک‌بعدی در صفحه $x-y$ با استفاده از ۲۵۵ گره در دامنه و گام زمانی ۵ ثانیه، با استفاده از روش بدون مش درون‌یابی نقطه‌ای شعاعی و استفاده از روش انتگرال‌گیری تبدیل کارترین، حل شده است. نمودار تغییر دما در نمونه در راستای محور x در زمان ۴۲۰ ثانیه با استفاده از حل تحلیلی و مدل کردن همین مسئله با استفاده از روش درون‌یابی نقطه‌ای شعاعی در شکل ۴ مقایسه شده است که هم‌خوانی بالایی با هم دارند.

به این ترتیب دقت بالای حل با استفاده از روش بدون مش درون‌یابی نقطه‌ای شعاعی با استفاده از روش انتگرال‌گیری تبدیل کارترین در مقایسه با استفاده از فرمولاسیون حل تحلیلی در مسئله‌ای با شرایط مرزی همرفتی و تابشی تایید می‌شود. در ادامه، روش بدون

$$c_{ZrO_2} = 239.34022 + 1.05269 \times T - 0.00112 \times T^2 + 5.62217 \times 10^{-7} \times T^3 - 1.07881 \times 10^{-10} \times T^4; \quad (48)$$

(J × kg⁻¹ × K⁻¹)

در مثال‌های حل شده، دمای محیط اطراف $T_{\infty} = 299/65 \text{ K}$ دمای اولیه جسم $T_0 = 299/15 \text{ K}$ است.

۷- مثال‌های عددی و بررسی نتایج

۷-۱- مسئله با مرز دارای انتقال حرارت همرفت

در این مثال، شار حرارتی ثابت 1 kW/m^2 به مرز قایم Γ_q مطابق شکل ۱ اعمال می‌شود، و سه مرز دیگر دارای انتقال حرارت همرفت با ضریب انتقال حرارت همرفت $h_c = 3/1 \text{ kW/(m}^2 \cdot \text{K)}$ در نظر گرفته شده‌اند. مسئله انتقال حرارت گذرا در آبکوس با المان خطی DC2D4 و گام زمانی ۳۰ ثانیه حل شده (با استفاده از ۲۰۴ گره و ۱۷۲ المان برای نمونه لایه‌ای و ۲۷۵ گره و ۲۴۰ المان برای نمونه مدرج تابعی) و سپس نتایج با حل بدون مش درون‌یابی نقطه‌ای شعاعی، با همین گام زمانی در حل کرنک-نیکلسون، و همین تعداد گره، مقایسه شده است. برای مقایسه تاثیر استفاده از روش تبدیل کارترین با استفاده از مش پس‌زمینه، هر مثال با استفاده از هر کدام از این روش‌ها در ترکیب با روش درون‌یابی نقطه‌ای شعاعی به شکل جداگانه‌ای حل شده است و نتایج مقایسه شده‌اند.

۷-۱-۱- مقایسه کانتورهای دمایی در نمونه با شرایط مرزی همرفتی

کانتور دمایی در زمان ۱۲۰۰ ثانیه حاصل از حل اجزای محدود با نرم‌افزار آبکوس، برای نمونه لایه‌ای در شکل ۵، آمده است. همچنین، کانتور دمایی به دست آمده از حل بدون مش با استفاده از روش تبدیل کارترین، در نرم‌افزار تک‌پلات در همین زمان رسم شده است و همان‌طور که در شکل ۵ (الف) مشاهده می‌شود؛ مطابقت قابل توجهی با حل آبکوس دارد. وجود حفره در دامنه نمونه لایه‌ای، منجر به ایجاد یک هندسه نامنظم می‌شود؛ با این وجود، همان‌طور که در شکل ۵ مشاهده می‌شود، حتی در نزدیکی حفره، کانتور دمایی حاصل از حل آبکوس و بدون مش بسیار شبیه به هم هستند؛ که نشان از دقت بالای پاسخ دمایی به دست آمده با این روش بدون مش دارد. کانتور دمایی در زمان ۱۲۰۰ ثانیه، حاصل از حل

اکساید و ۷۵ درصد حجمی زیرکونیوم اکساید است. در لایه‌های بعد، در هر لایه کسر حجمی آلومینیوم اکساید ۲۵ درصد افزایش می‌یابد طوری که در لایه سوم کسر حجمی هر پودر ۵۰ درصد و در لایه آخر کسر حجمی آلومینیوم اکساید و زیرکونیوم اکساید به ترتیب ۷۵ و ۲۵ درصد است. ضخامت هر لایه ۲/۵ میلی‌متر، و طول کل جسم ۱۰ میلی‌متر است. همچنین یک حفره دایره‌ای به شعاع ۲/۵ میلی‌متر، در مرکز این نمونه ایجاد شده است.

در نمونه مدرج تابعی، مجدداً طول کل نمونه ۱۰ میلی‌متر است و ۲ میلی‌متر اول و آخر نمونه، شامل ده لایه با ضخامت ۰/۲ میلی‌متر است، طوری که لایه سطحی در هر دو سمت نمونه آلومینیوم اکساید خالص است و از لایه دوم به بعد، در هر دو سمت کسر حجمی زیرکونیوم اکساید ۱۰ درصد افزایش می‌یابد، تا در لایه ۱۰ام از هر دو سمت، ۹۰ درصد زیرکونیوم اکساید و ۱۰ درصد آلومینیوم اکساید داریم. ۶ میلی‌متر وسط نمونه نیز زیرکونیوم اکساید خالص است. برای محاسبه خواص موثر در یک نقطه از نمونه‌های لایه‌ای یا تابعی، تکنیک‌های همگن‌سازی مانند قانون مخلوط‌ها مورد استفاده قرار می‌گیرند. این قانون به دلیل سادگی آن، به شکل گسترده‌ای مورد استفاده قرار می‌گیرد [۶]. خواص موثر در هر نقطه با استفاده از معادله (۴۴) به شکل زیر محاسبه می‌شوند:

$$p = p_1 v_1 + p_2 v_2 \quad (44)$$

رسانایی حرارتی و گرمای ویژه آلومینیوم اکساید [۲۲ و ۲۳] و زیرکونیوم اکساید [۲۴ و ۲۵] مطابق روابط (۴۵) تا (۴۸) وابسته به دما می‌باشد. همچنین، چگالی آلومینیوم اکساید و چگالی زیرکونیوم اکساید به ترتیب برابر با ۳۸۰۰ و ۵۹۰۰ کیلوگرم بر متر مکعب است [۲۴ و ۲۵] (از تغییر چگالی با دما صرف‌نظر شده است).

$$k_{Al_2O_3} = 5.5 + 34 \times \exp\{-0.0033 \times (T - 273)\}; \quad (45)$$

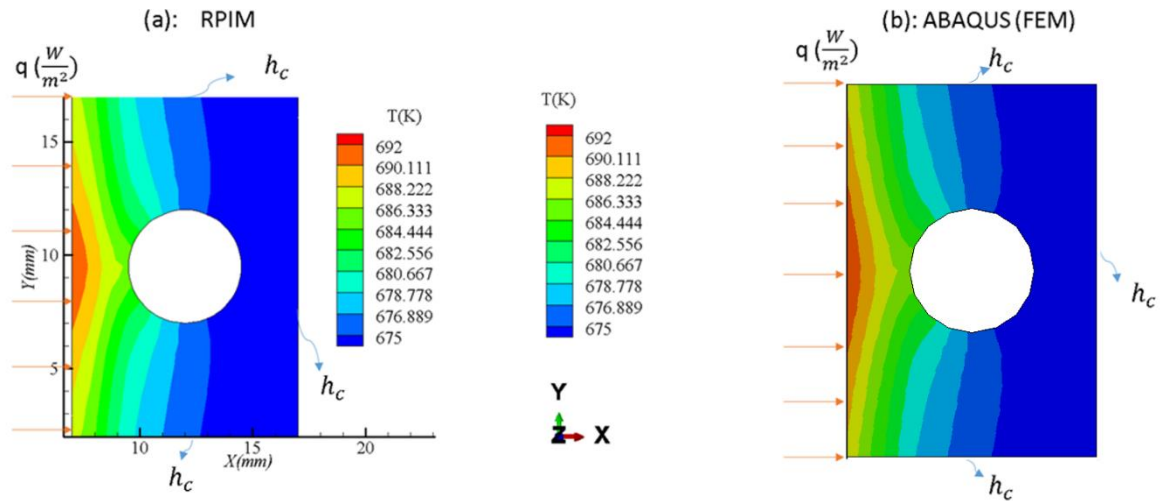
(in(W/ m × K), 298 – 1573K)

$$c_{Al_2O_3} = 1.04 + 1.74 \times 10^{-4} \times T - 2.79 \times 10^{-4} \times T^{-2} \quad (46)$$

(in(J × kg⁻¹ × K⁻¹), 298 to 1737K)

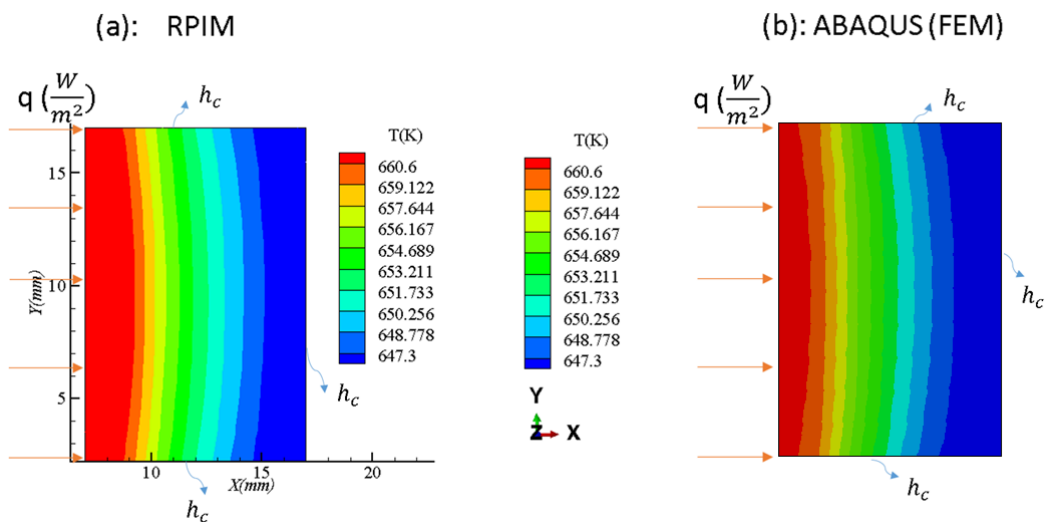
$$c_{ZrO_2} = 2.276 + 0.0056 \times T - 1.2621 \times 10^{-5} \times T^2 + 9.9895 \times 10^{-9} \times T^3 - 2.7527 \times 10^{-12} \times T^4; \quad (47)$$

(W / m × K)



شکل ۵. توزیع دما در نمونه لایه‌ای با شرایط مرزی همرفت در زمان ۱۲۰۰ ثانیه به دست آمده از (الف). حل بدون مش با روش تبدیل کارتزین. (ب). حل اجزای محدود آباکوس.

Fig. 5. Temperature distribution in the layered sample with convection boundary condition at $t=1200$ sec obtained from. (a). Meshless method with CTM. (b). FEM (ABAQUS).

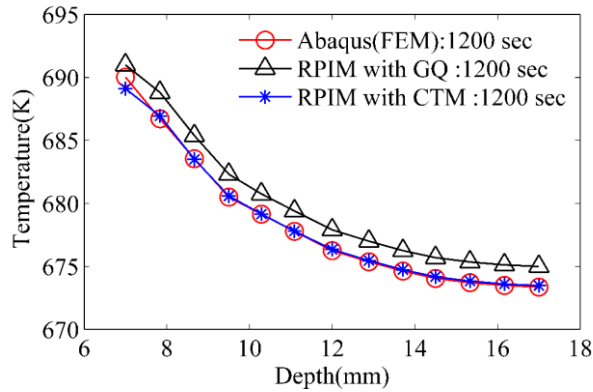


شکل ۶. توزیع دما در نمونه تابعی با شرایط مرزی همرفت در زمان ۱۲۰۰ ثانیه به دست آمده از (الف). حل بدون مش با روش تبدیل کارتزین. (ب). حل اجزای محدود آباکوس.

Fig. 6. Temperature distribution in the FGM sample with convection boundary condition at $t=1200$ sec obtained from. (a). Meshless method with CTM. (b). FEM (ABAQUS).

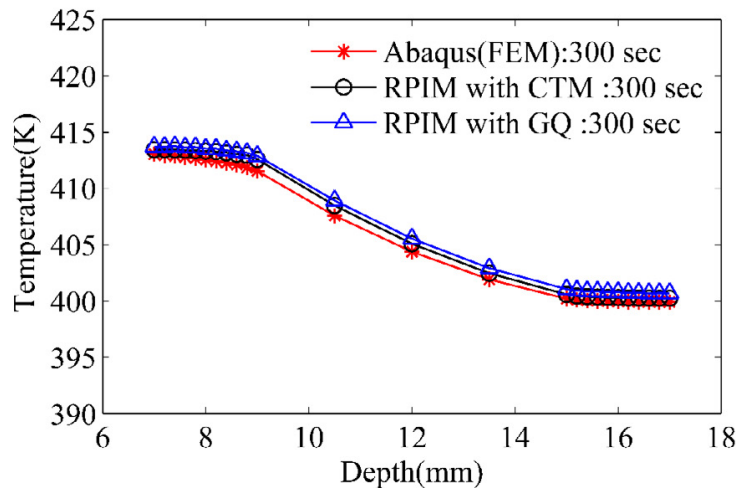
که به شکل مدرج مدل شده‌اند، تنها یک بازه در کانتور توزیع دما دیده می‌شود. بعلاوه، با مقایسه شکل‌های ۵ و ۶، دیده می‌شود که بازه تغییر دما در طول کل نمونه در لحظه ۱۲۰۰ ثانیه، برای نمونه کامپوزیت لایه‌ای حدود ۲۳ درجه کلین و برای نمونه مدرج تابعی حدود ۱۳ درجه کلین است. بنابراین، تغییر یکنواخت خواص در نمونه تابعی، باعث کمتر شدن اختلاف دما در طول نمونه و در نتیجه

اجزای محدود با نرم‌افزار آباکوس، برای نمونه مدرج تابعی در شکل ۶ آمده است. مقایسه توزیع دما در نمونه لایه‌ای و نمونه مدرج تابعی، نشان می‌دهد که کانتور توزیع دما در نمونه مدرج تابعی یکنواخت‌تر است. به عبارت دیگر، طراحی نمونه با تغییر خواص یکنواخت‌تر در نمونه تابعی، نسبت به نمونه کامپوزیت لایه‌ای، منجر به داشتن توزیع دمای یکنواخت‌تر شده است؛ به طوری که در ابتدا و انتها نمونه تابعی،



شکل ۷. مقایسه توزیع دما در راستای یک مسیر افقی در نمونه لایه‌ای با شرایط مرزی همرفت.

Fig. 7. Comparison of the temperature depth profile in the layered sample with convection boundary condition.



شکل ۸. مقایسه توزیع دما در راستای یک مسیر افقی در نمونه تابعی با شرایط مرزی همرفت.

Fig. 8. Comparison of the temperature depth profile in the FGM sample with convection boundary condition.

گاوس و مش پس‌زمینه، کاهش می‌یابد. مقدار حداکثر و متوسط خطا در نمونه لایه‌ای و تابعی در طول مسیر افقی، در جدول ۱ نشان داده شده است. همان‌طور که در این جدول مشاهده می‌شود، مقدار خطا همواره کمتر از ۱ درصد می‌باشد، که نشان‌دهنده دقت بالای حل بدون مش و توافق آن با حل اجزای محدود است. همچنین، مقایسه دقت حل بدون مش با استفاده از هر دو روش انتگرال‌گیری، نشان می‌دهد که استفاده از مش پس‌زمینه همواره باعث افزایش میزان خطا در دمای محاسبه شده در مقایسه با حل آباکوس می‌شود. در نمونه لایه‌ای، در حل با استفاده از روش تبدیل کارت‌زین، در مجموع از ۱۴۰۸ نقطه انتگرال‌گیری استفاده شده است، در حالی که

کمتر شدن گرادیان دمایی و تنش‌های حرارتی ناشی از آن می‌شود، که به روشنی مزیت استفاده از مواد تابعی در دماهای بالا را نشان می‌دهد.

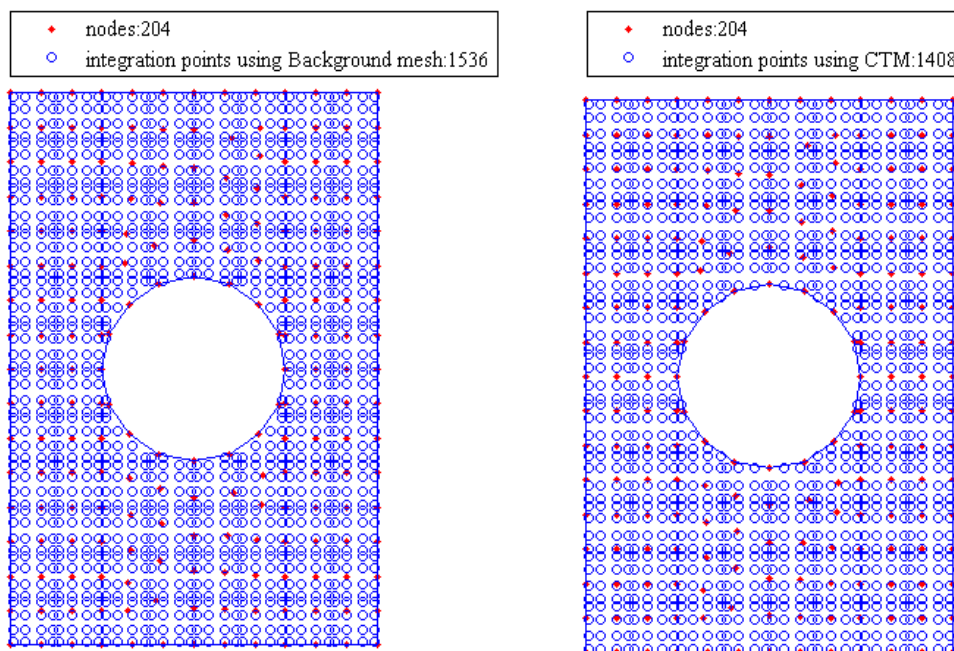
۷-۱-۲-مقایسه نتایج در راستای یک مسیر افقی در مسئله با شرایط مرزی همرفتی

نمودار تغییر دما در در راستای خط $l = 14 \text{ mm}$ برای نمونه لایه‌ای و در راستای خط $l = 9.5 \text{ mm}$ برای نمونه تابعی (در وسط نمونه)، با استفاده از هر دو تکنیک انتگرال‌گیری ذکر شده، در شکل‌های ۷ و ۸ آمده است. همان‌طور که در شکل‌های ۷ و ۸ مشاهده می‌شود، در هر دو نمونه لایه‌ای و تابعی، میزان خطا با استفاده از روش تبدیل کارت‌زین در مقایسه با استفاده از روش مربعی

جدول ۱. میزان خطا در مسئله با شرایط مرزی همرفتی در مقایسه با حل آباکوس در طول مسیر افقی.

Table 1. Error value in the problem with convection boundary condition compared with ABAQUS solution along the depth.

حداکثر درصد خطا				متوسط درصد خطا				
در ۳۰۰ ثانیه		در ۶۰۰ ثانیه		در ۳۰۰ ثانیه		در ۶۰۰ ثانیه		
سلول پس‌زمینه	تبدیل کارت‌ترین	سلول پس‌زمینه	تبدیل کارت‌ترین	سلول پس‌زمینه	تبدیل کارت‌ترین	سلول پس‌زمینه	تبدیل کارت‌ترین	روش انتگرال‌گیری
۰/۲۶	۰/۰۲۸	۰/۴۷	۰/۰۲۵	۰/۳۲	۰/۰۱۹	۰/۵۵	۰/۰۱۶	نمونه کامپوزیت لایه‌ای
۰/۳۵	۰/۳۲	۰/۳۳	۰/۲۶	۰/۲۶	۰/۲۰	۰/۲۳	۰/۱۳	نمونه تابعی



شکل ۹ مقایسه توزیع نقاط انتگرال‌گیری در روش مختصات کارت‌ترین و روش مش پس‌زمینه.

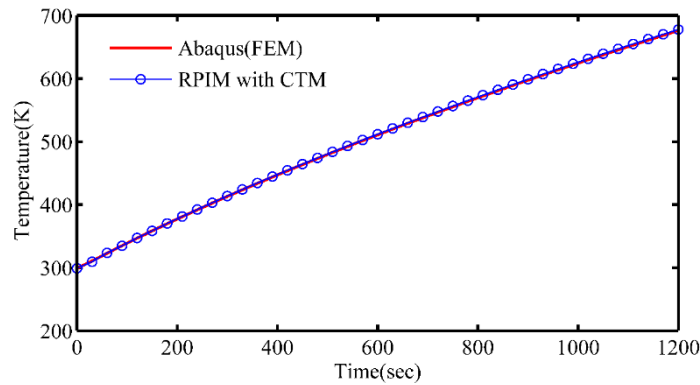
Fig. 9. Comparison of integration points distribution in the CTM and background cell method.

موضوع باعث محاسبه دقیق‌تر انتگرال‌های دامنه‌ای در مرز نامنظم، با استفاده از روش تبدیل کارت‌ترین می‌شود.

۳-۱-۷- تاریخچه دمایی در مسئله با شرایط مرزی همرفتی

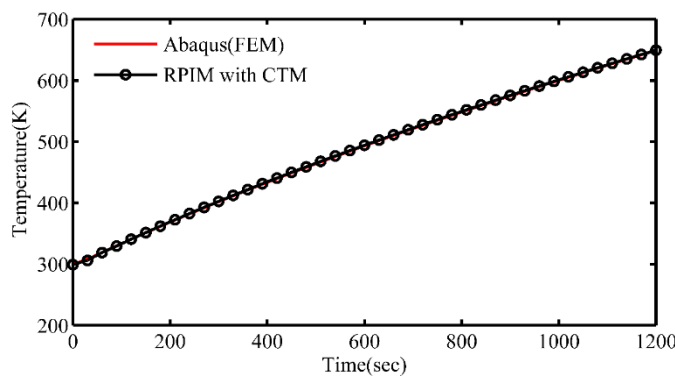
در هر مسئله، یک گره از دامنه انتخاب شده است و در آن، تاریخچه زمانی مربوط به پاسخ دمایی، حاصل از حل با روش حقیقتاً بدون مش درون‌یابی نقطه‌ای شعاعی با استفاده از تبدیل کارت‌ترین، با تاریخچه زمانی حاصل از حل با استفاده از نرم‌افزار آباکوس مقایسه

در روش مش پس‌زمینه، در مجموع ۱۵۳۶ نقطه انتگرال‌گیری به کار برده شده است. جهت مقایسه، چیدمان نقاط انتگرال‌گیری با استفاده از هر دو روش، در شکل ۹ آمده است. در واقع، روش تبدیل کارت‌ترین با وجود آن‌که از تعداد نقاط انتگرال‌گیری کمتری استفاده می‌کند، از دقت بالاتری برخوردار است؛ که این یک مزیت برای این روش محسوب می‌شود. با مقایسه توزیع نقاط انتگرال‌گیری در طول دامنه در این دو روش، دیده می‌شود که تعداد نقاط روی مرز حفره داخلی، در روش تبدیل کارت‌ترین، بیشتر از روش سلول پس‌زمینه است. همین



شکل ۱۰. تاریخچه دمایی در نمونه لایه‌ای با شرایط مرزی همرفت در گره واقع در $x=12\text{ mm}$ و $y=14\text{ mm}$.

Fig. 10. Temperature history in the layered sample with convection boundary condition at $x=12\text{ mm}$ and $y=14\text{ mm}$.



شکل ۱۱. تاریخچه دمایی در نمونه مدرج تابعی با شرایط مرزی همرفت در گره واقع در $x=13.5\text{ mm}$ و $y=9.5\text{ mm}$.

Fig. 11. Temperature history in the FGM sample with convection boundary condition at $x=13.5\text{ mm}$ and $y=9.5\text{ mm}$.

جدول ۲. میزان خطا در محاسبه تاریخچه دمایی در مسئله با شرایط مرزی همرفتی در مقایسه با حل آباکوس.

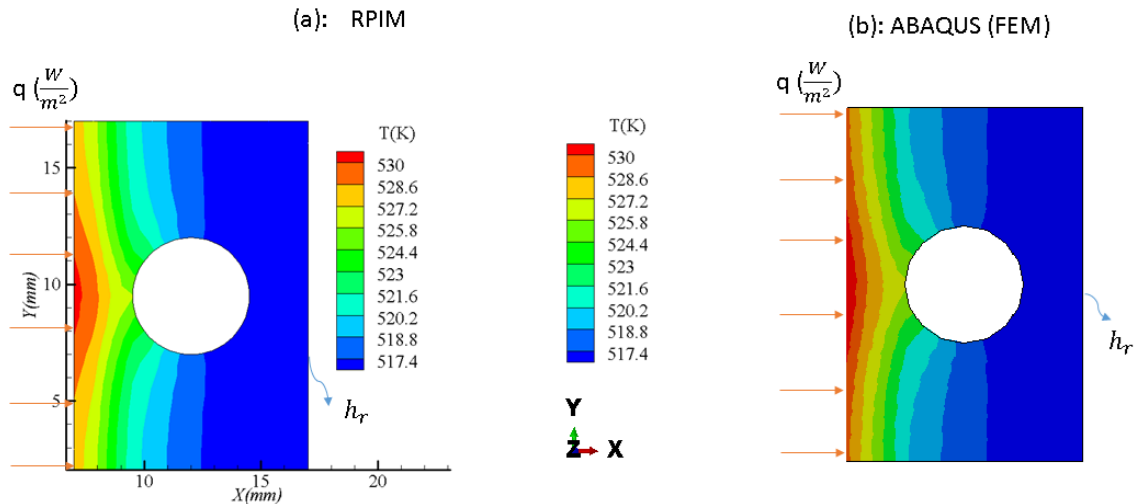
Table 2. Error value in the temperature history calculation in problem with convection boundary condition compared with ABAQUS.

مختصات بر حسب میلی‌متر	حداکثر درصد خطا		متوسط درصد خطا		روش انتگرال‌گیری
	سلول پس‌زمینه	تبدیل کارت‌زین	سلول پس‌زمینه	تبدیل کارت‌زین	
(۱۲ و ۱۴)	۰/۳۶	۰/۳۳	۰/۱۸	۰/۰۳	نمونه کامپوزیت لایه‌ای
(۱۳/۵ و ۹/۵)	۰/۳۷	۰/۳۴	۰/۵۲	۰/۱۷	نمونه تابعی

می‌دهد که حل به‌دست آمده از روش بدون مش پیشنهادی کاملاً پایدار است. علاوه بر این، تاریخچه دمایی حل در هر دو نمونه با گام زمانی ۳۰ ثانیه، نشان می‌دهد که در مسئله با انتقال حرارت همرفت با گام زمانی ۳۰ ثانیه نیز، همگرایی بالایی برای حل بدون مش در مقایسه با حل اجزای محدود در نرم‌افزار آباکوس، وجود دارد.

شده است. تاریخچه دمایی برای نمونه لایه‌ای در شکل ۱۰ و برای نمونه تابعی در شکل ۱۱ آمده است.

مختصات نقاط مورد بررسی در هر نمونه، و مقدار خطای متوسط و حداکثر در هر مسئله در جدول ۲ آمده است. مطابق جدول ۲، میزان خطا در مقایسه تاریخچه دمایی ناشی از دو روش اجزای محدود و روش بدون مش درون‌یابی نقطه‌ای شعاعی، نشان



شکل ۱۲. توزیع دما در نمونه لایه‌ای با شرایط مرزی تشعشی در زمان ۶۰۰ ثانیه با استفاده از (الف). حل بدون مش با روش تبدیل کارترین. (ب). حل اجزای محدود آباکوس.

Fig. 12. Temperature distribution in the layered sample with radiation boundary condition at $t=600$ sec obtained from (a). Meshless method using CTM. (b). FEM (ABAQUS).

این شرط مرزی، باعث افزایش میزان غیرخطی بودن مسئله می‌شود. با این وجود، با توجه به شکل ۱۲، همچنان تطابق بالایی میان دو حل اجزای محدود و بدون مش وجود دارد، که توانایی روش بدون مش درون‌یابی نقطه‌ای شعاعی را، در حل مسائل غیرخطی و در هندسه‌های نامنظم نشان می‌دهد.

در نمونه تابعی، کانتور دمایی به‌دست آمده از حل مسئله انتقال حرارت گذرا با شرایط مرزی تشعشی، با استفاده از روش بدون مش درون‌یابی نقطه‌ای شعاعی و روش تبدیل کارترین، در زمان ۳۰۰ با استفاده از نرم‌افزار تک‌پلات در شکل ۱۳ (الف) رسم شده است. کانتور دمایی حاصل از حل اجزای محدود با استفاده از نرم‌افزار آباکوس نیز، در شکل ۱۳ (ب) آمده است. وجود تقارن در شرایط مرزی و طراحی نمونه، در جهت محور قائم، موجب ایجاد یک توزیع دمای متقارن در جهت محور قائم شده است. بعلاوه، مطابق طراحی نمونه، دو میلی‌متر اول و آخر نمونه، به‌صورت مدرج تابعی هستند. مجدداً، تغییر دما در این نواحی تابعی بسیار ناچیز است، که توانایی مواد مدرج تابعی در ایجاد یک تغییر دمای تدریجی حتی در تغییر دماهای بالاتر را در مقایسه با نمونه لایه‌ای نشان می‌دهد.

۷-۲-۲- مقایسه نتایج در راستای یک مسیر افقی در شرایط مرزی

تابشی

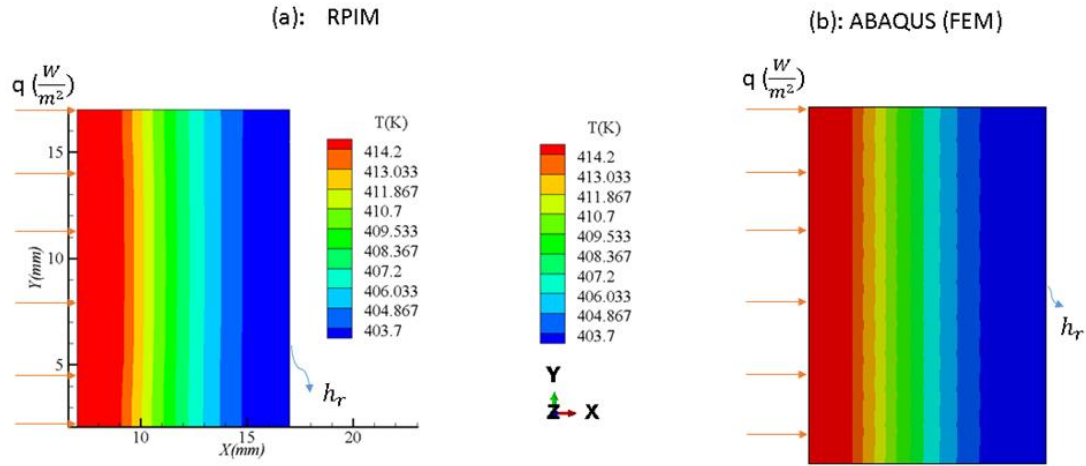
نمودار تغییر دمای به‌دست آمده از حل بدون مش با استفاده از هر

۷-۲- مسئله با مرز دارای انتقال حرارت تشعشی

در این مثال، شار حرارتی ثابت 1 kW/m^2 به مرز قائم T_q مطابق شکل ۱ اعمال می‌شود و دو مرز افقی بالا و پایین در شرایط عایق حرارتی در نظر گرفته شده‌اند. مرز قائم دوم نیز، دارای انتقال حرارت تشعشی است. ضریب تشعشع سطح برابر با 0.3 در نظر گرفته شده است. در این مسئله نیز، مانند مسئله قبلی که با شرایط مرزی همرفتی بررسی شد، مسئله انتقال حرارت گذرا در نرم‌افزار آباکوس با المان خطی DC2D4 و گام زمانی ۳۰ ثانیه حل شده، و سپس نتایج با حل بدون مش با همین گام زمانی در حل کرنک-نیکلسون، مقایسه شده است. برای نمونه لایه‌ای، حل تا زمان ۶۰۰ ثانیه، و برای نمونه تابعی تا زمان ۳۰۰ ثانیه، انجام شده است. تعداد گره و المان‌های به‌کار رفته برای حل در هر نمونه، مانند قبل است.

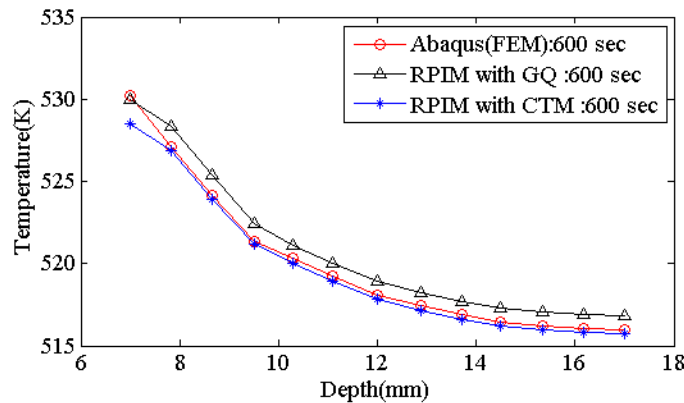
۷-۲-۱- مقایسه کانتورهای دمایی با شرایط مرزی تابشی

کانتور دمایی به‌دست آمده از حل بدون مش با استفاده از روش تبدیل کارترین، با کمک نرم‌افزار تک‌پلات در نمونه لایه‌ای در زمان ۶۰۰ ثانیه در شکل ۱۲ (الف) رسم شده است. همچنین، کانتور دمایی حاصل از حل اجزای محدود با استفاده از نرم‌افزار آباکوس در زمان ۶۰۰ ثانیه در شکل ۱۲ (ب) آمده است. از آنجا که حرارت منتقل شده از مرز دارای تشعشع، تابعی از دما از مرتبه چهارم است،



شکل ۱۳. توزیع دما در نمونه تابعی با شرایط مرزی تشعشعی در زمان ۳۰۰ ثانیه با استفاده از. (الف). حل بدون مش با روش تبدیل کارتیزین. (ب). حل اجزای محدود آباکوس.

Fig. 13. Temperature distribution in the FGM sample with radiation boundary condition at $t=300$ sec obtained from. (a). Meshless method using CTM. (b). FEM (ABAQUS).

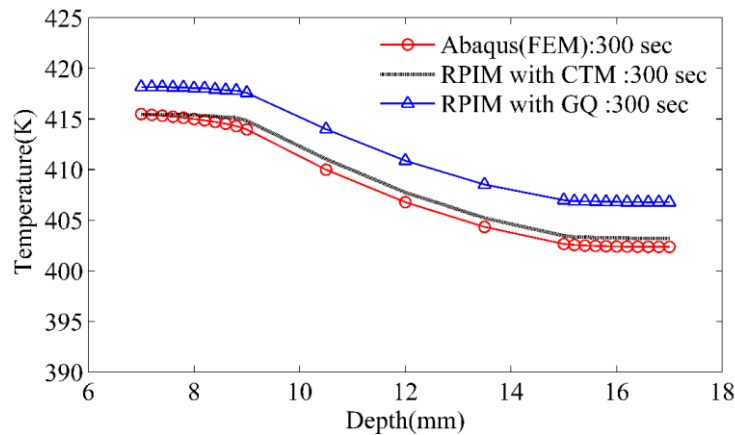


شکل ۱۴. توزیع دما در راستای مسیر افقی $y=14$ mm در نمونه لایه‌ای با شرایط مرزی تشعشعی.

Fig. 14. Temperature depth profile at $y=14$ mm in the layered sample with radiation boundary condition.

مسئله، همچنان مطابق شکل ۹ است. در نمونه مدرج تابعی، مسیر افقی $y=9/5$ mm در نظر گرفته شده است و نمودار توزیع دمای به دست آمده با استفاده از روش بدون مش درون‌یابی نقطه‌ای شعاعی با به کارگیری هر دو روش انتگرال‌گیری تبدیل کارتیزین و روش گاوس، در شکل ۱۵، با دمای حاصل از حل اجزای محدود مقایسه شده است. مجدداً، مطابق شکل ۱۵ استفاده از روش تبدیل کارتیزین از تطابق بیشتری با حل اجزای محدود برخوردار است. در ضمن، به روشنی مشاهده می‌شود

دو روش انتگرال‌گیری، با دمای به دست آمده از حل اجزای محدود با استفاده از نرم‌افزار آباکوس، در راستای خط افقی $y=14$ mm نمونه لایه‌ای، در شکل ۱۴ مقایسه شده است. همانطور که در این شکل دیده می‌شود؛ استفاده از روش تبدیل کارتیزین، در مقایسه با استفاده از روش انتگرال‌گیری گاوس از تطابق بیشتری با حل اجزای محدود برخوردار است. در ضمن، با توجه به ثابت بودن هندسه نمونه لایه‌ای در مقایسه با مسئله حل شده با شرایط مرزی همرفتی، توزیع نقاط انتگرال‌گیری تبدیل کارتیزین و گاوسی در دامنه



شکل ۱۵. توزیع دما در راستای مسیر افقی $y=9.5$ mm در وسط نمونه تابعی با شرایط مرزی تشعشی.

Fig. 15. Temperature depth profile at $y=9.5$ mm in the FGM sample with radiation boundary condition.

جدول ۳. مقایسه میزان خطا در مسئله با شرایط مرزی تشعشی در مقایسه با حل آباکوس.

Table 3. Comparison of error values in problem with radiation boundary condition compared with ABAQUS solution.

حداکثر درصد خطا				متوسط درصد خطا				
در ۳۰۰ ثانیه		در ۶۰۰ ثانیه		در ۳۰۰ ثانیه		در ۶۰۰ ثانیه		
سلول پس‌زمینه	تبدیل کارترین	سلول پس‌زمینه	تبدیل کارترین	سلول پس‌زمینه	تبدیل کارترین	سلول پس‌زمینه	تبدیل کارترین	روش انتگرال‌گیری
۰/۲۳	۰/۳۲	۰/۳۱	۰/۵۳	۰/۱۶	۰/۰۷	۰/۱۱	۰/۰۹	نمونه کامپوزیت لایه‌ای
۴/۳۵	۱/۳	۱/۰۹	۰/۲۵	۴/۰۵	۱/۲۲	۰/۹۲	۰/۱۶	نمونه تابعی

یک مرز جسم دارای تشعشع است، مقدار خطا در مسئله تابشی همواره بزرگتر است. این امر کاملاً منطقی به نظر می‌رسد، زیرا با توجه به آن که حرارت تابشی تابع درجه چهارم دما است، وجود این ترم غیرخطی موجب وابستگی شدیدتر مسئله به دما می‌شود و میزان خطا را افزایش می‌دهد.

۳-۲-۷- تاریخچه دمایی در شرایط مرزی تابشی

در هر مسئله، یک گره از دامنه انتخاب شده است و تاریخچه زمانی مربوط به پاسخ دمایی حاصل از حل با روش بدون مش درون‌یابی نقطه‌ای شعاعی با استفاده از هرکدام از روش‌های انتگرال‌گیری، با تاریخچه زمانی به‌دست آمده از حل با استفاده از نرم‌افزار آباکوس مقایسه شده‌اند. مختصات نقاط مورد بررسی در هر مسئله نمونه، و مقدار خطای متوسط و حداکثر در هر مسئله در

که در دو میلی‌متر اول و آخر نمونه که تغییر خواص به شکل تابعی بوده است، تغییر دما بسیار تدریجی و هموار است.

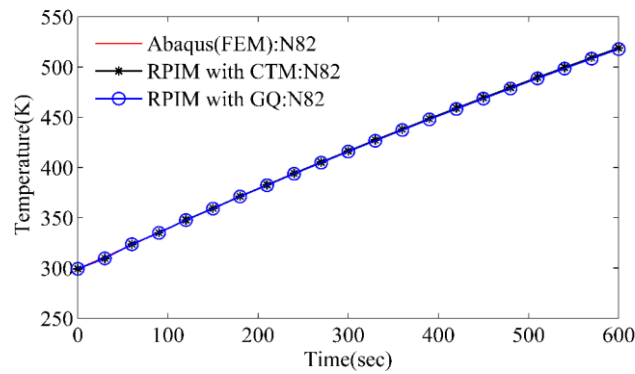
مقدار حداکثر و متوسط خطا در طول مسیر افقی، در جدول ۳ نشان داده شده است. مطابق این جدول، اختلاف دمای محاسبه شده از حل اجزای محدود و حل بدون مش با استفاده از تبدیل کارترین، همواره کمتر از ۲ درصد می‌باشد که نشان‌دهنده دقت بالای

حل بدون مش و توافق آن با حل اجزای محدود است. مطابق این جدول، در مسئله با شرط مرزی تابشی، استفاده از مش پس‌زمینه، به‌ویژه در نمونه تابعی که میزان غیرهمگن بودن خواص در آن بیشتر است، خطا را سه تا چهار برابر بیشتر می‌کند. همچنین، در مقایسه مسئله با شرایط مرزی همرفتی و تشعشی، با وجود آن که در مسئله با انتقال حرارت همرفت، سه مرز جسم دارای انتقال حرارت همرفت در نظر گرفته شده است و در مسئله با تبادل حرارتی تابشی، تنها

جدول ۴. مقایسه میزان خطا در محاسبه تاریخچه دمایی در مسئله با شرایط مرزی تشعشعی در مقایسه با حل آباکوس.

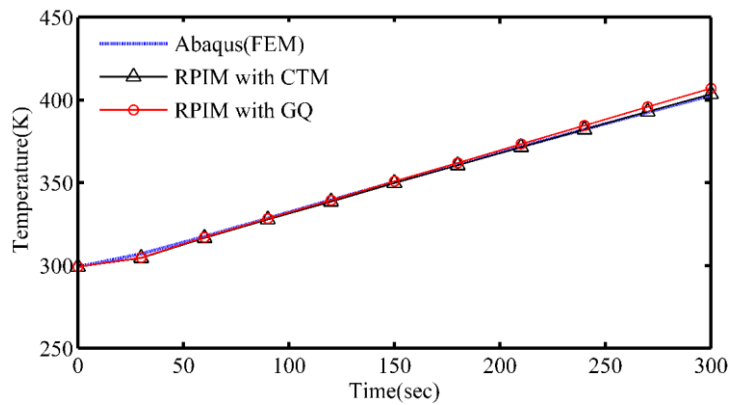
Table 4. Comparison of erro values in the problem with radiation boundary condition compared with ABAQUS solution.

حداکثر درصد خطا		متوسط درصد خطا		مختصات بر حسب میلی‌متر	شماره گره	روش انتگرال گیری
سلول پس‌زمینه	تبدیل کارترین	سلول پس‌زمینه	تبدیل کارترین			
۰/۵۱	۰/۳۲	۰/۲۱	۰/۱۴	(۱۲و۱۴)	۸۲	نمونه کامپوزیت لایه‌ای
۴/۳	۱/۲۶	۱/۵۱	۰/۵۲	(۱۵و۹/۵)	۱۴۸	نمونه تابعی



شکل ۱۶. تاریخچه دمایی در نمونه لایه‌ای با شرایط مرزی تشعشعی در گره واقع در $x=12$ mm و $y=14$ mm.

Fig. 16. Tmperature history in the layered sample with radiation boundary condition at $x=12$ mm and $y=14$ mm.



شکل ۱۷. تاریخچه دمایی در نمونه تابعی با شرایط مرزی تشعشعی در گره واقع در $x=13.5$ mm و $y=9.5$ mm.

Fig. 17. Temperature history in the FGM sample with radiation boundary condition at $x=13.5$ mm and $y=9.5$ mm.

همچنین، مقایسه تاریخچه دمایی برای هر دو روش انتگرال گیری با حل آباکوس در مسئله با شرایط مرزی تشعشعی نشان‌دهنده دقت بالای حل با استفاده از تبدیل کارترین در این نوع مسئله می‌باشد. مجدداً دیده می‌شود که دقت حل با استفاده از تبدیل کارترین بیشتر از روش مش پس‌زمینه است.

جدول ۴ آمده است. همانطور که در جدول ۴ مشاهده می‌شود، میزان خطا در مقایسه تاریخچه دمایی ناشی از دو روش اجزای محدود و حل با استفاده از روش بدون مش درون‌یابی نقطه‌ای شعاعی، نشان می‌دهد که حل به‌دست آمده از روش بدون مش پیشنهادی کاملاً پایدار است.

۸- نتیجه گیری

مقایسه حل تحلیلی انتقال حرارت گذرا با شرایط مرزی همرفتی و تابشی در یک دامنه همگن، با نتیجه به دست آمده از حل بدون مش درون یابی نقطه‌ای شعاعی و روش انتگرال گیری تبدیل کارترین، تایید کننده دقت بالای حل این مسئله با این روش عددی است. همچنین، با توجه به مثال‌های حل شده، روش بدون مش درون یابی نقطه‌ای شعاعی، می‌تواند با دقت بسیار بالا، در مقایسه با روش اجزای محدود، انتقال حرارت گذرا در مواد ناهمگن و با خواص وابسته به دما را حل کند. حتی در مسئله با شرایط مرزی تابشی که در آن حرارت منتقل شده از مرز دارای تشعشع، از مرتبه چهارم دما است و یک مسئله شدیداً غیرخطی است، این روش با خطای کمتر از ۲ درصد (با استفاده از روش انتگرال گیری تبدیل کارترین)، قادر به حل مسئله انتقال حرارت غیرخطی است. با توجه به دقت بالای حل بدون مش در ترکیب با روش انتگرال گیری تبدیل کارترین، و با در نظر گرفتن این امر که، استفاده از روش تبدیل کارترین موجب داشتن یک روش بدون مش و بدون نیاز به مش پس‌زمینه می‌شود، این روش می‌تواند کاندیدای مناسبی برای حل مسائل معکوس انتقال حرارت گذرا در مواد ناهمگن و غیرخطی که نیاز به استفاده از حل مستقیم، در یک حلقه تکرار دارند، باشد.

همچنین، مقایسه نتایج حل با روش تبدیل کارترین و روش مش پس‌زمینه، نشان می‌دهد، که استفاده از روش تبدیل کارترین، در مسئله با شرایط مرزی همرفتی حداقل خطا را به نصف و در مسئله با شرایط مرزی تشعشعی خطا را تا یک چهارم کاهش می‌دهد. در حالی که، تعداد نقاط انتگرال گیری در روش مش پس‌زمینه حتی کمی بیشتر از روش تبدیل کارترین بوده است. بنابراین، این افزایش دقت با استفاده از روش تبدیل کارترین، بدون نیاز به افزایش تعداد نقاط انتگرال گیری و زمان حل مسئله به دست می‌آید، که خود یک امتیاز مثبت برای این روش محسوب می‌شود.

مراجع

- and characterization of titanium with radial graded porosity for bone implants, *Materials & Design*, 110 (2016) 179-187.
- [3] S. Naga, M. Awaad, H. El-Maghraby, A. Hassan, M. Elhoriny, A. Killinger, R. Gadow, Effect of La₂Zr₂O₇ coat on the hot corrosion of multi-layer thermal barrier coatings, *Materials & Design*, 102 (2016) 1-7.
- [4] P. Miranzo, M.I. Osendi, Thermal conductivity of a ZrO₂-Ni functionally graded coatings, *Scripta Materialia*, 58(11) (2008) 973-976.
- [5] J. Sladek, V. Sladek, J. Krivacek, C. Zhang, Local BIEM for transient heat conduction analysis in 3-D axisymmetric functionally graded solids, *Computational mechanics*, 32(3) (2003) 169-176.
- [6] A. Khosravifard, M. Hematiyan, L. Marin, Nonlinear transient heat conduction analysis of functionally graded materials in the presence of heat sources using an improved meshless radial point interpolation method, *Applied Mathematical Modelling*, 35(9) (2011) 4157-4174.
- [7] M. Dashti Ardakani, M. Khodadad, Identification of thermal conductivity and the shape of an inclusion using the boundary elements method and the particle swarm optimization algorithm, *Inverse Problems in Science and Engineering*, 17(7) (2009) 855-870.
- [8] W. Ge, C. Zhao, B. Wang, Thermal radiation and conduction in functionally graded thermal barrier coatings. Part I: Experimental study on radiative properties, *International Journal of Heat and Mass Transfer*, 134 (2019) 101-113.
- [9] P. Wen, Y. Hon, Y. Xu, Inverse heat conduction problems by using particular solutions, *Heat Transfer—Asian Research*, 40(2) (2011) 171-186.
- [10] J. Wang, G. Liu, On the optimal shape parameters of radial basis functions used for 2-D meshless methods, *Computer methods in applied mechanics and engineering*, 191(23) (2002) 2611-2630.
- [11] J. Wang, G. Liu, A point interpolation meshless method based on radial basis functions, *International Journal for Numerical Methods in Engineering*, 54(11) (2002) 1623-1648.
- [12] G. Liu, K. Dai, K. Lim, Y. Gu, A radial point interpolation method for simulation of two-dimensional piezoelectric
- [1] R. Joshi, S. Alwarappan, M. Yoshimura, V. Sahajwalla, Y. Nishina, Graphene oxide: the new membrane material, *Applied Materials Today*, 1(1) (2015) 1-12.
- [2] Y. Torres, P. Trueba, J. Pavón, E. Chicardi, P. Kamm, F. García-Moreno, J. Rodríguez-Ortiz, Design, processing

- [19] J.N. Reddy, D.K. Gartling, The finite element method in heat transfer and fluid dynamics, CRC press, 2010.
- [20] A. Khosravifard, M.R. Hematiyan, A new method for meshless integration in 2D and 3D Galerkin meshfree methods, Engineering Analysis with Boundary Elements, 34(1) (2010) 30-40.
- [21] Y. Cengel, Heat and mass transfer: fundamentals and applications, McGraw-Hill Higher Education, 2014.
- [22] M. MUNRO, Evaluated material properties for a sintered alpha-alumina, Journal of the American Ceramic Society, 80(8) (1997) 1919-1928.
- [23] P. Auerkari, Mechanical and physical properties of engineering alumina ceramics, Technical Research Centre of Finland Espoo, 1996.
- [24] K. Schlichting, N. Pature, P. Klemens, Thermal conductivity of dense and porous yttria-stabilized zirconia, Journal of materials science, 36(12) (2001) 3003-3010.
- [25] R. Taylor, X. Wang, X. Xu, Thermophysical properties of thermal barrier coatings, Surface and coatings technology, 120 (1999) 89-95.
- structures, Smart Materials and Structures, 12(2) (2003) 171.
- [13] G.-R. Liu, G. Zhang, Y. Gu, Y. Wang, A meshfree radial point interpolation method (RPIM) for three-dimensional solids, Computational Mechanics, 36(6) (2005) 421-430.
- [14] G.-R. Liu, Meshfree methods: moving beyond the finite element method, Taylor & Francis, 2009.
- [15] G.-R. Liu, Y.-T. Gu, An introduction to meshfree methods and their programming, Springer Science & Business Media, 2005.
- [16] X.-H. Wu, W.-Q. Tao, Meshless method based on the local weak-forms for steady-state heat conduction problems, International Journal of Heat and Mass Transfer, 51(11-12) (2008) 3103-3112.
- [17] A. Singh, I.V. Singh, R. Prakash, Meshless element free Galerkin method for unsteady nonlinear heat transfer problems, International Journal of Heat and Mass Transfer, 50(5-6) (2007) 1212-1219.
- [18] J.N. Reddy, An Introduction to the Finite Element Method, (1993) 227-230.

چگونه به این مقاله ارجاع دهیم

S. Kooshki, M. Khodadad, A. Khosravifard, Nonlinear Transient Heat Transfer Analysis Using Two Integration Methods with Different Distributions of Integration Points in the Domain in a Meshless Formulation, Amirkabir J. Mech Eng., 53(Special Issue 1) (2021) 553-572.

DOI: 10.22060/mej.2019.16538.6383

